

А. Б. БАГДАСАРЯН

ТОЧНЫЕ РЕШЕНИЯ ЗАДАЧИ О ДЕЙСТВИИ
 ВЗРЫВА СОСРЕДОТОЧЕННОГО ЗАРЯДА В
 ХРУПКОЙ ТВЕРДОЙ СРЕДЕ

Пусть в пространстве, заполненном хрупкой, трещиноватой горной породой, имеется сферическая полость радиуса r_0 . Среда находится в покое и сжата гидростатическим давлением P_h . Полость заполнена зарядом $ВВ$, превращающимся в газ с начальным давлением P_0 . Под воздействием этого давления порода вблизи полости будет вовлечена в движение, в результате которого при достаточно больших P_0 часть породы будет разрушена, а на больших расстояниях от полости распространяются упругие волны.

Вопросы математической теории деформации и разрушения горных пород изложены в работе [1]. Здесь рассматривается специальный случай, когда прочностная постоянная неразрушенной породы (τ_*) и некоторая постоянная из условия пластичности (τ_{*1}) [1] для горной породы совпадают, критическое растягивающее напряжение среды $\tau_* = 0$.

В этом случае для некоторых интервалов времени распространения взрывных волн удается решение строить аналитически.

Если учесть, что для горных пород τ_* и $\tau_* - \tau_{*1} \ll \rho c_0^2$ и τ_* , а также то, что горные породы имеют естественную трещиноватость, становится ясным важность полученного аналитического решения для этого случая.

Рассмотрим каждую из областей породы, вовлеченной в движение, в которых порода либо разрушена по разным механизмам, либо не разрушена [1].

Неразрушенная область. Считается, что неразрушенный материал описывается линейно-упругой моделью. Тогда решение основных уравнений для этой области в случае центральной симметрии дается формулами:

$$\begin{aligned} \sigma_r &= -\rho c_0^2 \left\{ \frac{\ddot{f}(\xi)}{x} + \frac{2(1-2\nu)}{1-\nu} \left[\frac{\dot{f}(\xi)}{x^2} + \frac{f(\xi)}{x^3} \right] \right\} - P_h \\ \sigma_\theta = \sigma_\varphi &= -\rho c_0^2 \left\{ \frac{\nu}{1-\nu} \frac{\ddot{f}(\xi)}{x} - \frac{1-2\nu}{1-\nu} \left[\frac{\dot{f}(\xi)}{x^2} + \frac{f(\xi)}{x^3} \right] \right\} - P_h \\ v &= c_0 \left[\frac{\dot{f}(\xi)}{x} + \frac{f(\xi)}{x^2} \right], \quad u = r_0 \left[\frac{\dot{f}(\xi)}{x} + \frac{f(\xi)}{x^2} \right], \quad \xi = r - x \end{aligned} \quad (1)$$

где $x = r/r_0$, $\tau = c_0 t/r_0$ — безразмерные координаты, c_0 — скорость звука в неразрушенном материале, t — время, r — лагранжева координата, ρ — начальная плотность, $\sigma_r, \sigma_\theta, \sigma_z$ — напряжения на координатных площадках, v — скорость частиц в радиальном направлении, u — радиальное смещение, σ — коэффициент Пуассона, $f(\xi)$ — произвольная функция.

Область разрушения путем отрыва. Считается, что материал разбит на упругие конические стержни, которые выдерживают только радиальное напряжение, а кольцевое напряжение во всей области равно нулю.

$$\begin{aligned} \sigma_r &= -\rho c_0^2 \lambda^2 \left[\frac{\dot{f}_1(\xi) - \dot{f}_2(\eta)}{x} + \frac{f_1(\xi) + f_2(\eta)}{x^2} \right], \quad \sigma_\theta = \sigma_\phi = 0 \\ v &= \frac{c_0 \lambda}{x} [\dot{f}_1(\xi) + \dot{f}_2(\eta)], \quad u = \frac{r_0}{x} \left[f_1(\xi) + f_2(\eta) + \frac{1-\sigma}{1+\sigma} p_h x^2 \right] \quad (2) \\ p_h &= \frac{P_h}{\rho c_0^2}, \quad \xi = \lambda\tau - x, \quad \eta = \lambda\tau + x \\ \lambda &= c_1/c_0 = \left[\frac{(1-2\sigma)(1+\sigma)}{1-\sigma} \right]^{1/2}, \quad c_1^2 \rho = E \end{aligned}$$

где c_1 — скорость звука в материале, разрушенном трещинами отрыва, а $f_1(\xi)$ и $f_2(\eta)$ — произвольные функции, E — модуль Юнга.

Область разрушения путем скола. Считается, что материал, разбитый трещинами скола, описывается законом Гука для объемной деформации и условием пластичности $\sigma_r - \sigma_\theta = -2\tau_{*1}$ [1]

$$\begin{aligned} \sigma_r &= -\rho c_0^2 q^2 \frac{1}{x} [\dot{F}_1(\xi_1) + \dot{F}_2(\eta_1)] - 4\tau_{*1} \ln x + P_h \\ \sigma_\theta = \sigma_\phi = \sigma_z &= \sigma_r + 2\tau_{*1}, \quad v = c_0 q \left[\frac{\dot{F}_1(\xi_1) - \dot{F}_2(\eta_1)}{x} + \frac{F_1(\xi_1) + F_2(\eta_1)}{x^2} \right] \quad (3) \\ u &= r_0 \left[\frac{\dot{F}_1(\xi_1) - \dot{F}_2(\eta_1)}{x} + \frac{F_1(\xi_1) + F_2(\eta_1)}{x^2} + \frac{4(1-\sigma)}{1+\sigma} \Gamma_{*1} x \ln x \right] \\ \Gamma_{*1} &= \frac{\tau_{*1}}{\rho c_0^2}, \quad \xi_1 = q\tau - x, \quad \eta_1 = q\tau + x \\ q &= c_2/c_0 = \left[\frac{1+\sigma}{3(1-\sigma)} \right]^{1/2}, \quad c_2^2 \rho (1-2\sigma) = E \end{aligned}$$

где c_2 — скорость звука в материале, разрушенном трещинами скола, а $F_1(\xi_1)$ и $F_2(\eta_1)$ — произвольные функции.

Если $P_0 \geq 2\tau_{*1}$, то разрушение может произойти путем отрыва и путем скола, а если $P_0 < 2\tau_{*1}$, то разрушение происходит только путем отрыва. Рассмотрим случай взрыва при больших давлениях $P_0 \geq 2\tau_{*1}$.

Распространение взрывных волн в этом случае происходит следующим образом. Если выполняется условие

$$P_0 \leq P_h + \frac{2(1-\sigma)}{1-2\sigma} \tau_* \quad (4)$$

то с начального момента взрыва до момента $\tau = \tau_1$, когда на каверне достигается условие

$$\sigma_r - \sigma_\theta = -2\tau_* \quad (5)$$

будут распространяться упругие волны, определяющиеся (1), где $f(\zeta)$ будет определяться формулой

$$f(\zeta) = \frac{1-\sigma}{2(1-2\sigma)} (p_0 - p_h) \left\{ 1 - \sqrt{2(1-\sigma)} \exp \left[\frac{2\sigma-1}{1-\sigma} (\zeta+1) \right] \times \right. \\ \left. \times \sin \left[\frac{\sqrt{1-2\sigma}}{1-\sigma} (\zeta+1) + \arcsin \frac{1}{\sqrt{2(1-\sigma)}} \right] \right\}, \quad p_0 = \frac{P_0}{\rho c_0^2} \quad (6)$$

После момента $\tau = \tau_1$ из каверны в глубь среды распространяется сферический фронт разрушения путем скола $x = x_1(\tau)$, из которого в неразрушенную область будут излучаться упругие волны. Если не выполняется условие (4), то фронт разрушения трещинами скола будет распространяться непосредственно в начальный момент взрыва. В случае $\sigma \geq 1/3$ разрушение продолжится до тех пор, пока скачок радиальных напряжений на фронте $x = x_1(\tau)$ не обратится в нуль или кольцевое напряжение на фронте $x = x_2(\tau)$ со стороны неразрушенного материала не обратится в нуль. Если раньше τ_0 обратится в нуль, то разрушение путем скола останавливается и материал продолжает разрушаться путем отрыва $x = x_2(\tau)$. Фронт разрушения путем отрыва $x = x_2(\tau)$ будет распространяться то как сильный разрыв, то как слабый. Разрушение путем отрыва останавливается, когда фронт стремится к своему значению статического решения. Если же $\sigma < 1/3$ (в этом случае скорость распространения малых возмущений в материале, разрушенном трещинами скола, меньше, чем в материале, разрушенном трещинами отрыва), то только разрушение путем скола продолжается опять до момента, когда τ_0 со стороны неразрушенного материала обратится в нуль, или скачок радиальных напряжений на фронте $x = x_1(\tau)$ обратится в нуль. Если раньше обратится в нуль τ_0 , то фронт разрушения раздваивается, вперед пойдет фронт разрушения путем отрыва $x = x_2(\tau)$, который материал разрушит радиальными трещинами, а за ним — фронт разрушения трещинами скола $x = x_1(\tau)$, повторно разрушающий материал на мелкие блоки. Если в какой-то момент времени скачок радиальных напряжений обратится в нуль, то после этого момента разрушение путем скола останавливается и его нужно рассматривать как контактный разрыв. Незвестные функции $f_1(\xi)$, $f_2(\eta)$, $F_1(\xi_1)$, $F_2(\tau_1)$, входящие в выражения (1)–(3), должны быть определены из граничных условий, которые формулируются на каверне и на фронтах разрушений $x = x_1(\tau)$, $x = x_2(\tau)$. Простейшим условием на каверне при достаточно больших τ_* (т. е.

при $u \ll 1$) является

$$\sigma_r|_{r=r_0} = -P_0 \quad (7)$$

а условия на фронтах состоят из обычных условий сильного разрыва и условия разрушения. Условия разрушения на фронте $x = x_1(\tau)$ со стороны неразрушенного материала суть

$$\sigma_r - \sigma_\theta = -2\tau_* \quad (8)$$

а на фронте $x = x_2(\tau)$ со стороны неразрушенного материала суть

$$\sigma_\theta = 0 \quad (9)$$

Радиальное напряжение впереди и за фронтом разрушения путем скола выражается формулами

$$\sigma_{r1} = \rho c_0^2 q^2 \left(\frac{\partial u_1}{\partial r} - \frac{2u_1}{r} \right) - \frac{4}{3} \tau_* - P_h \quad (10)$$

$$\sigma_{r2} = \rho c_0^2 q^2 \left(\frac{\partial u_2}{\partial r} - \frac{2u_2}{r} \right) - \frac{4}{3} \tau_{*1} - P_h$$

где индексы 1 и 2 соответственно обозначают величины впереди фронта и за фронтом $x = x_1(\tau)$. Используя условие непрерывности смещения и теорему о количестве движения с учетом (10), получим

$$\left[c_2^2 - \left(\frac{dr_1}{dt} \right)^2 \right] \left(\frac{\partial u_1}{\partial r} - \frac{\partial u_2}{\partial r} \right) = \frac{4}{3\rho} (\tau_* - \tau_{*1}) \quad (11)$$

В случае $\tau_* = \tau_{*1}$ условие на фронте разрушения $x = x_1(\tau)$ (11) удовлетворяется, если

$$\text{либо} \quad dr_1/dt = c_2 \quad (12)$$

$$\text{либо} \quad \partial u_1 / \partial r = \partial u_2 / \partial r \quad (13)$$

Как показывают конкретные вычисления задачи в общем случае [2], в момент $\tau = \tau_1$ фронт разрушения путем скола, при $\tau_* \rightarrow \tau_{*1}$, распространяется с постоянной скоростью, т. е. удовлетворяется только условие (12).

Уравнения, описывающие разрушение и распространение взрывных волн в этой стадии ($\tau_1 \leq \tau \leq \tau_2$) с учетом (1), (3) и (12) и граничных условий (7), (8), сводятся к следующему:

$$\begin{aligned} \frac{\dot{f}(\zeta)}{x_1(\tau)} + 3 \left[\frac{\dot{f}(\zeta)}{x_1^2(\tau)} + \frac{f(\zeta)}{x_1^3(\tau)} \right] &= \frac{2(1-\sigma)}{1-2\sigma} T_* \\ \dot{F}_1(\xi_1) - \dot{F}_2(\eta_1) + \frac{F_1(\xi_1) + F_2(\eta_1)}{x_1(\tau)} + \frac{4(1-\sigma)}{1+\sigma} T_* x_1^2(\tau) \ln x_1(\tau) &= \\ = \dot{f}(\zeta) + \frac{f(\zeta)}{x_1(\tau)}, \quad x_1(\tau) = 1 + q(\tau - \tau_1) & \quad (14) \end{aligned}$$

$$\ddot{F}_1(\xi_1^0) + \ddot{F}_2(\gamma_1^0) = \frac{1}{q^2} (p_0 - p_n), \quad \zeta = \tau - x_1(\tau), \quad \xi_1 = q\tau - x_1(\tau)$$

$$\gamma_1 = q\tau + x_1(\tau), \quad \xi_1^0 = q\tau - 1, \quad \gamma_1^0 = q\tau + 1$$

Из первого и третьего уравнений системы (14) определяем при $\sigma < 0.385$

$$\begin{aligned} f(\zeta) &= A_{10} [x_1(\zeta)]^{\alpha_1} \sin \beta(\zeta) + A_{12} [x_1(\zeta)]^{\alpha_2} \\ x_1(\zeta) &= a_0 + a_1 \zeta, \quad \beta(\zeta) = \alpha_2 \ln x_1(\zeta) + A_{11} \end{aligned} \quad (15)$$

где

$$\begin{aligned} \alpha_1 &= \frac{1}{2q} (4q - 3), \quad \alpha_2 = \frac{1}{2q} \sqrt{3 - 4q^2}, \quad a_0 = \frac{1 - q\tau_1}{1 - q} \\ a_1 &= q/(1 - q), \quad A_{10} = |f_0 - A_{12}| \left\{ 1 - \left[\frac{\dot{f}_0 - 3a_1 A_{12}}{a_1 (f_0 - A_{12})} - x_1 \right]^2 \right\}^{1/2} \\ A_{11} &= \arcsin \frac{f_0 - A_{12}}{A_{10}}, \quad A_{12} = \frac{2}{3} \frac{1 - \sigma}{1 - 2\sigma} \frac{(1 - q)^2}{1 + q} T_* \end{aligned} \quad (16)$$

а f_0 и \dot{f}_0 — значения функций $f(\zeta)$ и $\dot{f}(\zeta)$ из решения (6) при $\zeta = \tau_1 - 1$. Если не выполняется условие (4), то из начального условия $u(x, 0) = 0$ следует $f_0(-1) = \dot{f}_0(-1) = 0$.

Учитывая, что можно определить не все функции в системе (14), а лишь их комбинации

$$\begin{aligned} \dot{F}_1(\xi_1) - \dot{F}_2(\gamma_1) + F_1(\xi_1) + F_2(\gamma_1), \quad \ddot{F}_1(\xi_1) + \ddot{F}_2(\gamma_1) \\ \dot{F}_1(\xi_1) - \dot{F}_2(\gamma_1) + F_1(\xi_1) + F_2(\gamma_1) \end{aligned} \quad (17)$$

входящие в выражение (2), за начальные условия примем

$$\begin{aligned} F_1(\xi_0) = \dot{F}_1(\xi_0) = F_2(\gamma_0) = 0, \quad \dot{F}_2(\gamma_0) = f(\zeta_0) + \dot{f}(\zeta_0) \\ \xi_0 = q\tau_1 - 1, \quad \gamma_0 = q\tau_1 + 1 \end{aligned} \quad (18)$$

Так как $F_1(\xi_1)$ на линии $x = x_1(\tau)$ постоянная, то во втором уравнении системы (14) с учетом начальных условий (18) можно положить

$$F_1(\xi_1) = \dot{F}_1(\xi_1) = 0, \quad \text{при } \xi = \xi_0 \quad (19)$$

Из второго уравнения системы (14) с учетом (18) и (19) определяем

$$\begin{aligned} F_2(\gamma_1) &= [x_1(\gamma_1)]^{\alpha_1} [B_{11} \sin \beta(\zeta) + B_{12} \cos \beta(\zeta)] + \\ &+ B_{13} [x_1(\gamma_1)]^{\alpha_2} [1 + \ln x_1(\gamma_1)] + (B_{14} \gamma_1 + B_{15}) x_1^2(\gamma_1) \end{aligned} \quad (20)$$

$$x_1(\gamma_1) = \frac{1}{2} (1 - q\tau_1 + \gamma_1)$$

где

$$\begin{aligned}
 B_{11} &= \frac{2q}{1-q} \frac{A_{10}}{(\alpha_1 - 2)^2 + \alpha_2^2} [(2\alpha_1 - 2)\alpha_1\alpha_1 + \alpha_1\alpha_2\alpha_1 + \alpha_1 - 2] \\
 B_{12} &= \frac{2q}{1-q} \frac{A_{10}}{(\alpha_1 - 2)^2 + \alpha_2^2} [(2\alpha_1 - 2)\alpha_1\alpha_1 - \alpha_1\alpha_2\alpha_1 - \alpha_2] \quad (21) \\
 B_{13} &= -\frac{8(1-\sigma)}{1+\sigma} T_*, \quad B_{14} = A_{12} [1 + 3\alpha_1\alpha_1^2 A_{10}]
 \end{aligned}$$

а

$$B_{15} = \dot{f}_0 + f_0 - B_{11} \sin A_{11} - B_{12} \cos A_{11} - B_{13} - B_{14} \gamma_0$$

— постоянная интегрирования, определяемая из соответствующего начального условия (18).

Функция $F_1(\xi^0)$ определяется из четвертого уравнения системы (14)

$$\begin{aligned}
 F_1(\xi^0) &= \frac{1}{2q^2} (p_0 - p_h) (\xi^0)^2 + D_{11} \xi^0 + D_{12} - [\gamma(\gamma^0)]^{\alpha_1 - 2} [B_{11} \sin \beta_1(\gamma^0) + \\
 &+ B_{12} \cos \beta_1(\gamma^0)] - B_{13} [\gamma(\gamma^0)]^2 [1 + \ln \beta_1(\gamma^0)] - (B_{14} \gamma^0 + \\
 &+ B_{15}) [\gamma(\gamma^0)]^2, \quad \gamma(\gamma^0) = \frac{1}{2} (1 - q\tau_1 + \gamma_0), \quad \beta_1(\gamma^0) = \alpha_2 \ln \gamma(\gamma^0) + A_{11}
 \end{aligned} \quad (22)$$

$$\gamma_0 = \xi^0 + 2, \quad D_{11} = \frac{1}{q^2} (p_h - p_0) \xi_0^0, \quad D_{12} = f_0 + \dot{f}_0 + \frac{1}{2q} (p_0 - p_h) (\xi_0^0)^2$$

Решение системы (14) для случая $\sigma > 0.385$ выражается формулами

$$\begin{aligned}
 f(\xi) &= A_{20} [x_1(\xi)]^{k_1} + A_{21} [x_1(\xi)]^{k_2} + A_{22} [x_1(\xi)]^3 \\
 F_2(\gamma_0) &= \frac{2q}{1-q} \frac{2k_1 - 1}{k_1 - 2} A_{20} [x_1(\xi)]^{k_1} + \frac{2q}{1-q} \frac{2k_2 - 1}{k_2 - 2} A_{21} [x_1(\gamma_0)]^{k_2} + \\
 &+ A_{22} (1 + 3\alpha_1) \gamma_0 [x_1(\gamma_0)]^2 - \frac{8(1-\sigma)}{1+\sigma} T_* [x_1(\gamma_0)]^2 [1 + \\
 &+ \ln x_1(\gamma_0)] + A_{23} [x_1(\gamma_0)]^2 \\
 F_1(\xi^0) &= \frac{1}{2q} (p_0 - p_h) (\xi^0)^2 + D_{11} \xi^0 + D_{12} - F_2(\gamma^0)
 \end{aligned} \quad (23)$$

$$x_1(\xi) = a_0 + a_1 \xi, \quad x_1(\gamma_0) = \frac{1}{2} (1 - q\tau_1 + \gamma_0)$$

где

$$\begin{aligned}
 A_{20} &= \frac{1}{k_1 - k_2} \left[\frac{\dot{f}_0}{a_1} - (f_0 - A_{22}) k_2 - 3 A_{22} \right] \\
 A_{21} &= \frac{1}{k_2 - k_1} \left[\frac{\dot{f}_0}{a_1} - (f_0 - A_{22}) k_1 - 3 A_{22} \right], \quad A_{22} = A_{12} \quad (24)
 \end{aligned}$$

$$A_{23} = f_0 + f_0 - \frac{4q}{1-q} \left[A_{20} \frac{k_1-1}{k_1-2} + A_{21} \frac{k_2-1}{k_2-2} \right] - A_{22} \gamma_0 (1 + 3a_1) + \\ + \frac{8(1-\sigma)}{1+\sigma} T_*, \quad k_{1,2} = \frac{1}{2a_1} (a_1 - 3 \pm \sqrt{a_1^2 - 6a_1 - 3})$$

Решение системы (14) в случае $\sigma = 0.385$ выражается формулами

$$f(\zeta) = [x_1(\zeta)]^{-0.74} [A_{30} \ln x_1(\zeta) + A_{31}] + A_{32} [x_1(\zeta)]^3 \\ F_2(\eta) = [x_1(\eta)]^{-0.74} [B_{30} \ln x_1(\eta) + B_{31}] + [x_1(\eta)]^2 [B_{32} x_1(\eta) + B_{33}] \quad (25) \\ F_1(\xi^0) = \frac{1}{2q} (p_0 - p_h) (\xi^0)^2 + D_{30} \xi^0 + D_{31} - F_2(\eta^0)$$

$$x_1(\zeta) = 7.46 + 6.46 (\zeta - \tau_1), \quad x_1(\eta) = \frac{1}{2} (1 - 0.86 \tau_1 + \eta)$$

где

$$A_{30} = 0.157 f_0 + 4.700 f_0 - 0.136 T_*, \quad A_{31} = f_0 - 0.018 T_* \\ A_{32} = 0.018 T_*, \quad B_{30} = 3.065 A_{30}, \quad B_{31} = 3.065 A_{31} - 3.533 A_{30} \\ B_{32} = 1.025 T_*, \quad B_{33} = f_0 - f_0 - 3.065 A_{31} + \quad (26) \\ + 3.533 A_{30} - 1.025 T_*, \quad D_{30} = -\frac{4}{3} (p_0 - p_h) \xi_0^0 \\ D_{31} = f_0 + f_0 + \frac{2}{3} (p_0 - p_h) (\xi_0^0)^2$$

Полученное решение совместно с (2) и (3) дают возможность построить поля напряжений, массовых скоростей и смещений в интервале $\tau_1 \leq \tau \leq \tau_2$. Момент τ_2 определяется из соотношения

$$\left[a_1 (x_1^2 - x_2^2 - \tau_1) - \frac{1-2\sigma}{1-\sigma} (1 + x_1 a_1) \right] \sin \mu_2 + a_1 \left[a_1 x_2 (2x_1 - 1) - \right. \\ \left. - \frac{1-2\sigma}{\sigma} a_2 \right] \cos \mu_2 + \frac{A_{12}}{A_{10}} \left[\sigma a_1^2 - \frac{1-2\sigma}{\sigma} (1 + 3a_1) + \quad (27) \right. \\ \left. + \frac{1-\sigma}{\sigma} \frac{p_h}{A_{12}} \right] \mu_1^{3-x_1} = 0, \quad \mu_1 = 1 + q(\tau_2 - \tau_1), \quad \mu_2 = \tau_2 \ln \mu_1 + A_{11}$$

После момента $\tau = \tau_2$ вперед в глубь среды распространяется фронт разрушения путем отрыва $x = x_2(\tau)$. Радиальное напряжение впереди и за фронтом $x = x_2(\tau)$ для $\sigma_* = 0$ определяется формулами

$$\sigma_{r1} = E \frac{\partial u_1}{\partial r} - (1-2\sigma) P_h \\ \sigma_{r2} = E \frac{\partial u_2}{\partial r} - (1-2\sigma) P_h \quad (28)$$

С учетом (28), условия непрерывности смещений и теоремы количества движения на фронте $x = x_2(\tau)$ легко получить

$$\left[c_1^2 - \left(\frac{dr_2}{dt} \right)^2 \right] \left(\frac{\partial u_1}{\partial r} - \frac{\partial u_2}{\partial r} \right) = 0 \quad (29)$$

Из (29) заключаем, что условие сопряжения на фронте $x = x_2(\tau)$ будет удовлетворено, если

$$dr_2/dt = c_1 \quad (30)$$

или

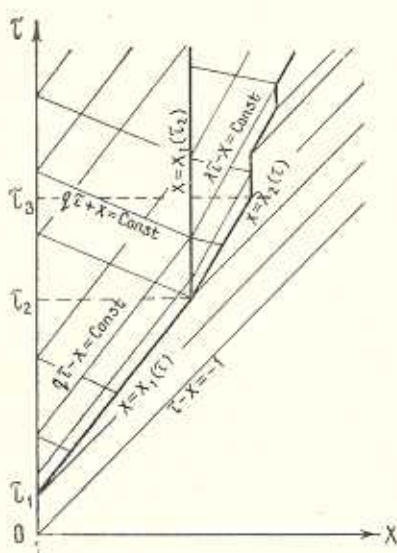
$$\partial u_3 / \partial r = \partial u_2 / \partial r \quad (31)$$

Как показывают вычисления задачи действия давления в полости горных пород с образованием разрушения путем отрыва, при $\sigma_* \rightarrow 0$ фронт распространяется с постоянной скоростью, равной c_1 , до момента, когда нарушается условие раскрытия трещины, навязанное геометрией, сводящееся к следующему:

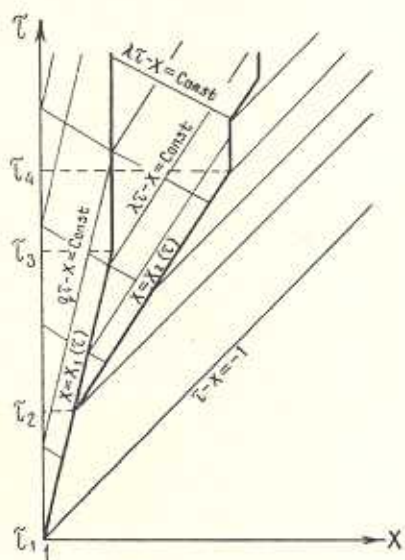
$$\frac{\rho_{ис} - \rho}{\rho} = -\frac{1 - \sigma \sigma_{r2}}{1 + \sigma \rho c_0^2} + 3 p_h \geq \frac{\rho_{ер} - \rho}{\rho} = -\frac{\partial u_2}{\partial r} - \frac{2u_2}{r} \quad (32)$$

где $\rho_{ис}$ и $\rho_{ер}$ — истинная и средняя плотность материала в области, разрушенной трещинами отрыва. Условие (32) с учетом (2) запишется в виде

$$f_1(\xi) - f_2(\eta) + \frac{1 - \sigma}{\sigma} \frac{f_1(\xi) + f_2(\eta)}{x} \geq 0 \quad (33)$$



Фиг. 1.



Фиг. 2.

На фиг. 1 и 2 схематически изображены картины распространения взрывных волн на плоскости x, τ в случае $\sigma \geq 1/3, P_0 \geq 2\tau_*$.

(фиг. 1) и $\sigma < 1/3$, $P_0 < 2\tau_0$ (фиг. 2). Линия $x = x_1(\tau)$ изображает закон распространения фронта разрушения путем скола, $x = x_2(\tau)$ — фронт разрушения путем отрыва. Наклонные прямые — характеристики излучаемой упругой волны.

В интервале времени $\tau_2 \leq \tau \leq \tau_3$, где τ_3 — момент, когда впервые нарушается условие (33), уравнения, описывающие распространение взрывных волн и разрушение в среде при $\sigma < 1/3$, получаемые из граничных условий и из выражений (1)–(3), сводятся к следующему:

$$\begin{aligned} \dot{F}_1(\xi^0) + \dot{F}_2(\eta^0) &= \frac{1}{q^2} (p_0 - p_h) \\ \dot{f}_1(\xi_2) - \dot{f}_2(\eta_2) + \frac{f_1(\xi_2) + f_2(\eta_2)}{x_1(\tau)} &= \frac{2}{\lambda^2} T_* x_1(\tau) \\ \dot{F}_1(\xi_1) - \dot{F}_2(\eta_1) + \frac{F_1(\xi_1) + F_2(\eta_1)}{x_1(\tau)} + \frac{4(1-\sigma)}{1+\sigma} T_* x_1^2(\tau) \ln x_1(\tau) &= \\ = f_1(\xi_2) + f_2(\eta_2) + \frac{1-\sigma}{1+\sigma} p_h x_1^2(\tau), \quad x_1(\tau) &= 1 + q(\tau - \tau_1) \\ \frac{\sigma}{1-\sigma} \frac{\dot{f}(\zeta)}{x_2(\tau)} - \frac{1-2\sigma}{1-\sigma} \left[\frac{\dot{f}(\zeta)}{x_2^2(\tau)} + \frac{f(\zeta)}{x_2^3(\tau)} \right] &= -p_h \\ \dot{f}(\zeta) + \frac{f(\zeta)}{x_2(\tau)} &= f_1(\xi) + f_2(\eta) + \frac{1-\sigma}{1+\sigma} p_h x_2^2(\tau) \\ x_2(\tau) &= 1 + q(\tau_2 - \tau_1) + \lambda(\tau - \tau_1) \end{aligned} \quad (34)$$

где

$$\begin{aligned} \zeta &= \tau - x_2(\tau), \quad \xi^0 = q\tau - 1, \quad \eta^0 = q\tau + 1 \\ \xi &= \lambda\tau - x_2(\tau), \quad \eta = \lambda\tau + x_2(\tau), \quad \xi_1 = q\tau - x_1(\tau) \\ \eta_1 &= q\tau + x_1(\tau), \quad \xi_2 = \lambda\tau - x_1(\tau), \quad \eta_2 = \lambda\tau + x_1(\tau) \end{aligned} \quad (35)$$

Начальные данные системы (34) определяются из решения предыдущей стадии для момента $\tau = \tau_2$ с учетом, что напряжения и смещения на характеристиках $\zeta = \tau - x = (1 - q)\tau_2 + q\tau_1 - 1$ и $\eta = q\tau + x = 1 + q(\tau_1 + 2\tau_2)$ непрерывны.

Неизвестную функцию $f(\zeta)$, определяющую распространение упругих волн в неразрушенной среде, находим из условия разрушения трещинами отрыва (пятое уравнение системы (34) на фронте разрушения $x = x_2(\tau)$ и седьмое уравнение системы (34)).

$$f(\zeta) = A_{40} [x_2(\zeta)]^{l_1} + A_{41} [x_2(\zeta)]^{l_2} + A_{42} [x_2(\zeta)]^3 \quad (36)$$

где

$$x_2(\zeta) = b_0 - b_1 \zeta$$

$$A_{40} = \frac{\dot{f}_0 x_1(\tau_2) - l_2 f_0 - A_{42} x_1^3(\tau_2) (3 - l_2)}{[x_1(\tau_2)]^{l_1} (l_1 - l_2)}$$

$$A_{41} = \frac{\dot{f}_0 x_1(\tau_2) - l_1 f_0 - A_{42} x_1^3(\tau_2)(3 - l_1)}{[x_1(\tau_2)]^2 (l_2 - l_1)}, \quad A_{42} = \frac{1 - \sigma}{14\sigma - 4} p_h \quad (37)$$

$$b_0 = \frac{1}{1 - \lambda} [1 - (q - \lambda) \tau_2 - q \tau_1], \quad b_1 = \frac{\lambda}{1 - \lambda}, \quad l_{1,2} = \frac{1}{2\sigma} (1 - \sigma \pm \sqrt{1 + 2\sigma - 9\sigma^2})$$

а f_0 и \dot{f}_0 — значения функций $f(\zeta)$ и $\dot{f}(\zeta)$ при $\zeta_0 = \tau_2 - x_1(\tau_2)$.

В шестом уравнении системы (34) $f_1(\xi) = \text{const}$, поскольку $\dot{\xi} = \text{const}$. Так как в выражения (2) входит только сумма $f_1 + f_2$, то за начальное значение $f_1(\xi)$ можно принять любое число, например, нуль. Тогда

$$f_2(\gamma) = B_{40} [x_2(\gamma)]^{l_1 - 1} + B_{41} [x_2(\gamma)]^{l_2 - 1} + B_{42} [x_2(\gamma)]^2 \quad (38)$$

$$x_2(\gamma) = \frac{1}{2} [\gamma + 1 + q(\tau_2 - \tau_1) - \lambda \tau_2]$$

где

$$B_{40} = A_{40}(1 + l_1 b_1), \quad B_{41} = A_{41}(1 + l_2 b_1), \quad B_{42} = A_{42}(1 - 3b_1) - \frac{1 - \sigma}{1 + \sigma} p_h$$

Функция $f_1(\xi_2)$ определяется из второго уравнения системы (34)

$$f_1(\xi_2) = B_{43} [x_1(\xi_2)]^2 + B_{44} [B_{40} [x_2(\xi_2)]^{l_1 - 1} + B_{41} [x_2(\xi_2)]^{l_2 - 1} + B_{42} [x_2(\xi_2)]^2] + B_{45} [x_1(\xi_2)]^{\lambda/q - 1} \int_{\xi_{20}}^{\xi_2} [x_1(\xi_2)]^{-1 - \lambda/q} [B_{40} [x_1(\xi_2)]^{l_1 - 1} + B_{41} [x_1(\xi_2)]^{l_2 - 1} + B_{42} [x_1(\xi_2)]^2] d\xi_2 + B_{46} [x_1(\xi_2)]^{\lambda/q - 1} \quad (39)$$

$$x_1(\xi_2) = \frac{\lambda(q\tau_1 - 1)}{\lambda - q} + \frac{q}{\lambda - q} \xi_2, \quad x_2(\xi_2) = \frac{1}{2} \left[1 + (q - \lambda) \tau_2 - q\tau_1 + \frac{2\lambda}{\lambda - q} (2\tau_1 - 1) - \frac{2q}{q - 1} \xi_2 \right]$$

где

$$B_{43} = \frac{2T_* q (\lambda - q)}{\lambda^2 (3q - \lambda)}, \quad B_{44} = \frac{\lambda - q}{\lambda + q}, \quad B_{45} = 1 - \left(\frac{\lambda - q}{\lambda + q} \right)^2$$

а B_{46} — постоянная интегрирования, определяемая из начального условия $f_1(\xi_{20}) = 0$, $\xi_{20} = q\tau_2 - x_1(\tau_2)$.

Из третьего уравнения системы (34) с учетом (19) функция

$$F_2(\gamma_1) = \frac{2(1 - \sigma)}{1 + \sigma} \left\{ 4T_* x_1^3(\gamma_1) [\ln x_1(\gamma_1) - 1] + p_h \ln x_1(\gamma_1) + B_{47} x_1^2(\gamma_1) + x_1(\gamma_1) \int_{\gamma_{10}}^{\gamma_1} \frac{1}{x_1^2(\gamma_1)} [f_1(\xi_2) + f_2(\gamma_2)] d\gamma_1 \right\} \quad (40)$$

$$x_1(\gamma_1) = \frac{1}{2}(\gamma_1 + 1 - q\tau_1)$$

где B_{47} — постоянная интегрирования, определяемая из начального условия $F_2(\gamma_{10}) = F_{20}$, $\gamma_{10} = q\tau_2 + x_2(\tau_2)$, а F_{20} — значение функции $F_2(\gamma_1)$ при $\gamma_1 = \gamma_{10}$ из решения предыдущей стадии.

Функция $F_1(\xi^0)$ определяется из первого уравнения системы (34)

$$\begin{aligned} \dot{F}_1(\xi^0) = & \frac{1}{2q^2} (p_0 - p_h)(\xi^0)^2 - \int_{\xi_0^0}^{\xi^0} \frac{F_2(\xi^0 + 2)}{\alpha(\xi^0)} d\xi^0 + \int_{\xi_0^0}^{\xi^0} [f_1(\xi^0) + \\ & + f_2(\gamma_1^0)] d\xi^0 + \frac{8(1-\sigma)}{3(1+\sigma)} T_* \alpha(\xi^0) \left[\ln \alpha(\xi^0) - \frac{1}{3} \right] - \frac{2(1-\sigma)}{3(1+\sigma)} \alpha^3(\xi^0) + \\ & + B_{48} \xi^0 + B_{49}, \quad \alpha(\xi^0) = \frac{1}{2}(\xi^0 + 3 - q\tau_1) \end{aligned} \quad (41)$$

где B_{48} и B_{49} находим из начальных условий $F_1(\xi_0^0) = \dot{F}_1(\xi_0^0) = 0$, $\xi_0^0 = q\tau_1 - 1$. Решения (36), (38), (39), (40), (41) совместно с (1), (2), (3) дают возможность построить поля напряжений, массовых скоростей и смещений в интервале $\tau_2 \leq \tau \leq \tau_3$. После момента $\tau = \tau_3$, когда впервые нарушится условие (33), ударный фронт разрушения путем отрыва превращается в слабый разрыв. Уравнения, описывающие разрушение и распространение взрывных волн в этой стадии совпадают с системой уравнений, приведенной в работе [3], и получаются из системы (34), если в них седьмое уравнение заменить уравнением (31), записанным в виде

$$\begin{aligned} \dot{f}(\tau) + \frac{2(1-2\sigma)}{1-\sigma} \left[\frac{\dot{f}(\tau)}{x_2(\tau)} + \frac{f(\tau)}{x_2^2(\tau)} \right] + p_h x_2^2(\tau) = \\ = \lambda^2 \left[\dot{f}_1(\xi) - \dot{f}_2(\gamma) + \frac{f_1(\xi) + f_2(\gamma)}{x_2(\tau)} \right] \end{aligned} \quad (42)$$

Решение полученной системы можно продолжать до момента, когда вновь на фронте $x = x_2(\tau)$ начнет выполняться условие (33), после чего решение продолжается при помощи системы (34). Нарушение условия (33) может повторяться и возобновляться многократно. Если в какой-то момент времени скачок радиальных напряжений на фронте $x = x_1(\tau)$ обратится в нуль, то после этого момента второе и четвертое уравнения системы (34) необходимо заменить уравнениями

$$\begin{aligned} x_1(\tau) = x_* = \text{const}, \quad \lambda^2 \left[\dot{f}_1(\xi_2) - \dot{f}_2(\gamma_2) + \frac{f_1(\xi_2) + f_2(\gamma_2)}{x_*} \right] = \\ = q^2 [\ddot{F}_1(\xi_2) + \ddot{F}_2(\gamma_2)] + 4T_* x_* \ln x_* \end{aligned} \quad (43)$$

Решение продолжается до тех пор, пока скачок радиальных напряжений на ударном фронте разрушения не обратится в нуль.

В случае, когда $P_0 < 2\tau_*$, разрушение происходит только путем отрыва. Как уже было отмечено, условия сопряжения на фронте разрушения путем отрыва $x = x_2(\tau)$ при $\sigma_* \rightarrow 0$ удовлетворяются, если скорость фронта постоянна, равна c_1 (30) и если радиальное напряжение на фронте $x = x_2(\tau)$ непрерывно (31). Как показывают конкретные расчеты [2], в момент $\tau = \tau_1$ оба условия (30) и (31) удовлетворяются одновременно, а после момента $\tau = \tau_1$ удовлетворяется только условие (30).

Уравнения, описывающие разрушение, при котором удовлетворяются условия (30) и (33), сводятся к следующему:

$$\frac{\sigma}{1-\sigma} \frac{\dot{f}(\zeta)}{x_1(\tau)} - \frac{1-2\sigma}{1-\sigma} \left[\frac{\dot{f}(\zeta)}{x_1^2(\tau)} + \frac{f(\zeta)}{x_1^3(\tau)} \right] = -p_h$$

$$f_1(\xi) + f_2(\eta) + \frac{1-\sigma}{1+\sigma} p_h x_1^2(\tau) = \dot{f}(\zeta) + \frac{f(\zeta)}{x_1(\tau)}$$

$$x_1(\tau) = 1 + \lambda(\tau - \tau_1), \quad \dot{f}_1(\xi^0) - \dot{f}_2(\eta^0) + f_1(\xi^0) + f_2(\eta^0) = \frac{p_0}{\lambda^2} \quad (44)$$

$$\zeta = \tau - x_1(\tau), \quad \xi = \lambda\tau - x_1(\tau), \quad \eta = \lambda\tau + x_1(\tau)$$

$$\xi^0 = \lambda\tau - 1, \quad \eta^0 = \lambda\tau + 1$$

Решение этой системы, удовлетворяющее начальным условиям

$$f(\zeta_0) = f_0, \quad \dot{f}(\zeta_0) = \dot{f}_0, \quad f_1(\xi_0) = 0, \quad f_2(\eta_0) = f_0 + \dot{f}_0 - \frac{1-\sigma}{1+\sigma} p_h, \quad \zeta_0 = \tau_1 - 1, \quad \xi_0 = \lambda\tau_1 - 1, \quad \eta_0 = \lambda\tau_1 + 1 \quad (45)$$

где f_0 и \dot{f}_0 — значения функций $f(\zeta)$ и $\dot{f}(\zeta)$ из решения (6) при $\zeta = \zeta_0$, имеет следующий вид:

$$f(\zeta) = M_0 [x_1(\zeta)]^2 + M_1 [x_1(\zeta)]^{n_1} + M_2 [x_1(\zeta)]^{n_2}$$

$$x_1(\zeta) = m_0 \zeta + m_1$$

$$f_2(\eta) = M_3 x_1^2(\eta) + M_4 [x_1(\eta)]^{n_3-1} + M_5 [x_1(\eta)]^{n_3-1}$$

$$x_1(\eta) = \frac{1}{2}(\eta + 1 - \lambda\tau_1), \quad f(\xi) = p_0/\lambda^2 + M_3 \alpha_1^2(\xi) + M_3 e^{\xi} [\alpha_1^2(\xi) +$$

$$+ \alpha_1(\xi) - 0.5] + M_4 [\alpha_1(\xi)]^{n_4-1} + M_5 [\alpha_1(\xi)]^{n_4-1} -$$

$$- \int_{\xi_0}^{\xi} e^{\xi} \{ M_4 [\alpha_1(\xi)]^{n_4-1} + M_5 [\alpha_1(\xi)]^{n_4-1} \} d\xi + M_6 e^{-\xi} \quad (46)$$

$$\alpha_1(\xi) = \frac{1}{2}(\xi + 3 - \lambda\tau_1)$$

где

$$\begin{aligned}
 m_0 &= \frac{\lambda}{1-\lambda}, & m_1 &= \frac{1-\lambda\tau_1}{1-\lambda}, & m_2 &= -\frac{1-2\sigma}{1-\sigma}, & m_3 &= \frac{1-\sigma}{\sigma} p_h \\
 n_{1,2} &= \frac{m_0 - m_2}{2m_0} \pm \frac{1}{2m_0} [(m_0 - m_2)^2 - 4m_2]^{1/2} \\
 M_0 &= \frac{m_3}{6m_0^2 + 3m_0m_2 + m_3}, & M_1 &= \frac{f_0 - 3M_0m_0 - m_0n_2(M_0 - f_0)}{m_0(n_1 - n_2)} \\
 M_3 &= M_0(1 + 3m_0) - \frac{1-\sigma}{1+\sigma} p_h, & M_4 &= M_1(1 + m_0n_1) \\
 M_2 &= \frac{3M_0m_0 - f_0 - m_0n_1(M_0 - f_0)}{m_0(n_1 - n_2)}, & M_5 &= M_2(1 + m_0n_2) \\
 M_3 &= e^{-\xi_0} \{M_3 e^{\xi_0} a(\xi_0) - M_3 - M_4 - M_5 - p_h / \lambda^2\} \\
 \xi_0 &= \lambda\tau_1 - 1
 \end{aligned} \tag{47}$$

а f_0 и f_0 — значения функций $f(\zeta)$ и $\dot{f}(\zeta)$ при $\zeta = \tau_1 - 1$ из решения (6). При выполнении условия (33) поля напряжений, массовых скоростей и смещений строятся при помощи формул (46), (1), (3). После момента, когда впервые нарушается выполнимость условия (33), необходимо в системе (44) третье уравнение (уравнение, полученное из (30)) заменить уравнением (31), которое с учетом (1) и (3) совпадает с уравнением (42). Полученную систему функциональных дифференциальных уравнений можно строить численно с использованием ЭВЦМ. Решая эту систему, можно определить распространение фронта разрушений $x = x_2(\tau)$, поля напряжений, массовых скоростей и смещений в интервале времени, где нарушено условие (33). После того, как возобновится выполнимость условия (33), решение необходимо продолжить при помощи системы (44) или его решением (46), только в нем нужно начальные условия (45) заменить новыми значениями из предыдущего решения. Затем снова, если нарушится условие (33), нужно заменить третье уравнение системы (44) уравнением (42) и т. д. Решение задачи при $P_0 < 2\tau_*$ должно, колеблясь, асимптотически стремиться к статическому решению

$$\begin{aligned}
 r_p &= \left(\frac{P_0}{3P_h}\right)^{1/4}, & \sigma_{r1} &= -\frac{\text{const}_1}{x^3} - P_h, & \sigma_{b1} &= \frac{\text{const}_1}{x^3} - P_h \\
 \sigma_{r2} &= \frac{\text{const}_2}{x^2}, & \sigma_{b2} &= 0
 \end{aligned} \tag{48}$$

где r_p — радиус области раскрытия трещины, σ_{r1} , σ_{b1} — напряжения в неразрушенной области, σ_{r2} , σ_{b2} — напряжения в области раскрытия трещины.

На счетно-решающей машине вычислены некоторые варианты взрыва в трещиноватых породах при $P_0 < 2\tau_*$ в области $0 \leq \tau \leq \tau_2$, где τ_2 — момент, когда впервые нарушается условие (33).

В табл. 1 приведены результаты вычисления взрыва в трещиноватой гранитной среде ($\nu = 0.3$, $E = 2.22 \cdot 10^5 \text{ ат.}$, $\tau_* = 750 \text{ кг/см}^2$) при $P_0 = 500 \text{ ат.}$, $P_h = 0$. До момента $\tau = \tau_1 = 0.43$ из каверны распространяются упругие волны. При $\tau = 0.43$ от каверны отходит фронт разрушения радиальными трещинами $x = x_2(\tau)$, и решение построено с учетом разрушения. Счет прекращается в момент, когда скачок напряжения на ударном фронте $x = x_2(\tau)$ обратится в нуль. В последних графах табл. 1 приведены значения радиальных напряжений впереди и за фронтом разрушения. На фронте разрушения $\xi_0 = -0.612$, $\dot{f}_1(\xi_0) = 1.644 \cdot 10^{-3}$, $f_1(\xi_0) = 0$.

Таблица 1

| ζ | τ | $f \cdot 10^3$ | $\dot{f} \cdot 10^3$ | $\ddot{f} \cdot 10^3$ | $f_1 \cdot 10^3$ | $\dot{f}_1 \cdot 10^3$ | $\sigma_{r1} (\text{кг/см}^2)$ | $\sigma_{r2} (\text{кг/см}^2)$ |
|---------|--------|----------------|----------------------|-----------------------|------------------|------------------------|--------------------------------|--------------------------------|
| -1.00 | 0 | 0 | 0 | 1.670 | — | — | — | — |
| -0.76 | 0.24 | 0.044 | 0.347 | 1.225 | — | — | — | — |
| -0.60 | 0.40 | 0.114 | 0.520 | 0.946 | — | — | — | — |
| -0.57 | 0.43 | 0.127 | 0.548 | 0.880 | 0.675 | 0.067 | -500.0 | -500.0 |
| -0.56 | 0.50 | 0.132 | 0.557 | 0.855 | 0.681 | 0.052 | -446.7 | -343.0 |
| -0.55 | 0.57 | 0.138 | 0.565 | 0.815 | 0.688 | 0.052 | -402.2 | -323.4 |
| -0.54 | 0.65 | 0.144 | 0.573 | 0.780 | 0.694 | 0.050 | -364.3 | -306.0 |
| -0.53 | 0.72 | 0.150 | 0.581 | 0.747 | 0.700 | 0.049 | -331.8 | -290.0 |
| -0.52 | 0.79 | 0.155 | 0.588 | 0.718 | 0.706 | 0.048 | -303.6 | -276.3 |
| -0.51 | 0.86 | 0.161 | 0.595 | 0.691 | 0.712 | 0.047 | -279.0 | -263.5 |
| -0.50 | 0.94 | 0.167 | 0.602 | 0.666 | 0.718 | 0.046 | -257.4 | -251.9 |
| -0.49 | 1.01 | 0.173 | 0.608 | 0.644 | 0.724 | 0.045 | -238.3 | -241.3 |

Результаты вычисления разных конкретных примеров хорошо согласуются с представлениями, которые мы имеем из экспериментов по разрушению горных пород при взрыве.

Эти результаты были доложены на III Всесоюзном съезде по теоретической и прикладной механике, 1968 г.

Автор благодарит С. С. Григоряна за постоянное внимание к данной работе.

Ա. Բ. ԲԱԳԴԱՏԱՐԻԱՆ

ՓԵՐՈՒՆ ՊԻՆԴ ՄԻՋԱՎԱՅՐՈՒՄ ԿՆՆՏՐՈՆԱՅՎԱԾ ԼԻՑԻԻ
ՊԱՅԹՄԱՆ ԵՆԳՐԻ ՃՇԳՐԻՏ ԼՈՒՄՈՒՄՆԵՐ

Ա մ փ ն փ ն լ մ

Դիտարկված է հատուկ դեպք, երբ լեռնային ապասի ձգման կրիտիկական լարումը $\sigma_* = 0$ և շոշափող լարման կրիտիկական արժեքը τ_* հավասար է մի հաստատունի՝ պլաստիկության պարամետրի τ_{*1} , որը բնորոշում է շփումը բեկորային ճաքերի միջև:

Այդ դեպքում բեկորային և շատավղային ճաքեր ստաշացնող հարվածային ալիքները տարածվում են հաստատուն արագությամբ և կարելի է ստանալ անալիտիկ լուծումներ:

Ստացված լուծումները վերաբերվում են ճաքնքված ապասներին, ինչպես նաև կարող են կիրառվել ճաքնքված ապասների համար, քանի որ σ_* և $\tau_* - \tau_{*1} \ll \rho c_0^2$ և τ_* :

A. B. BAGHDASARIAN

THE EXACT SOLUTIONS OF THE PROBLEM ON THE
ACTION OF A CONCENTRATED CHARGE EXPLOSION
IN A BRITTLE RIGID MEDIUM

S u m m a r y

A special case, when the critical stress $\sigma_* = 0$ in a brittle medium and the critical value of shearing stress, is considered.

In this case shock waves propagate with a constant velocity, and the analytical solution may be obtained. The obtained solutions are related to the cracked brittle medium, however they may be applied for noncracked medium because σ_* and $\tau_* - \tau_{*1} \ll \rho c_0^2$ and τ_* .

Л И Т Е Р А Т У Р А

1. Григорян С. С. Некоторые вопросы математической теории деформирования и разрушения твердых горных пород. ПММ, т. 31, вып. 4, 1967.
2. Багдасарян А. Б., Григорян С. С. О действии взрыва в органическом стекле. ПМТФ, №3, 1967.
3. Коряков В. П. О зоне и фронте трещин в упругом теле под действием давления. ПМТФ, № 6, 1965.